



УДК 547.854.4'455.466.057

## СИНТЕЗ И БИОЛОГИЧЕСКИЕ СВОЙСТВА ПИРИМИДИНОВЫХ 2'-ДЕЗОКСИНУКЛЕОЗИДОВ, МОДИФИЦИРОВАННЫХ ОСТАТКОМ ХИНАЛЬДИНОВОЙ КИСЛОТЫ

© 1995 г. Л. В. Экторова, И. В. Ярцева, Е. В. Хорошева, Т. П. Иванова,  
Н. П. Яворская, С. Я. Мельник\*

Онкологический научный центр им. Н.Н. Блохина РАМН,  
115478, Москва, Каширское шоссе, 24

Поступила в редакцию 27.10.94 г.

Синтезированы О-хинальдиноильные производные тимицина, 2'-дезоксиуридина и 5-триметилсилил-2'-дезоксиуридина. В результате взаимодействия 5'-амино-5'-дезокситимицина с пентафторфениловым эфиrom хинальдиновой кислоты или с 4-(хинолин-2-карбониламино)масляной кислотой получены 5'-дезокси-5'-(хинолин-2-карбониламино)- и 5'-дезокси-5'-(хинолин-2-карбониламино)бутироиламино]тимицин. Антипролиферативные свойства в отношении клеток CaOV *in vitro* найдены у большинства синтезированных производных нуклеозидов с хинальдиновой кислотой ( $CE_{50} \sim 10^{-5}$  M). 3'-O-Хинальдиноилтимицин обладает противоопухолевой активностью *in vivo*. С использованием метода флуоресцентных зондов изучено взаимодействие 3'- и 5'-O-хинальдиноил-, а также 3',5'-ди-O-хинальдиноилтимицина с ДНК.

**Ключевые слова:** пирамидиновые 2'-дезоксинуклеозиды, хинальдиновая кислота, синтез, цитотоксичность, противоопухолевые свойства, влияние на структуру ДНК.

В литературе имеются сведения о том, что введение ацильного остатка в молекулу нуклеозида приводит к появлению у аналога противоопухолевой активности [1] или к ее усилению по сравнению с активностью исходного нуклеозида-антиметаболита [2 - 4]. Продолжая исследования по модификации пирамидиновых нуклеозидов по углеводному остатку с использованием производных гетероарилкарбоновых кислот [5, 6], мы изучили взаимодействие 2'-дезоксинуклеозидов – тимицина, его 5'-амино-5'-дезоксианалога, а также 2'-дезоксиуридина и его 5-триметилсилилпроизводного – с производными хинальдиновой кислоты, исследовали антипролиферативные свойства синтезированных аналогов и их влияние на структуру ДНК из эритроцитов цыпленка.

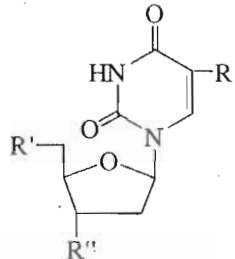
При взаимодействии хлорангидрида хинальдиновой кислоты с незащищенным 2'-дезоксинуклеозидами (I), (VI) и (VIII) в присутствии DMAP в хлористом метилене при 20 - 22°C образуются

Сокращения: DCC – 1,3-дициклогексилкарбодиimid, DMF – N,N-диметилформамид, THF – тетрагидрофuran, DMAP – 4-диметиламинопиридин, EEDQ – 2-этокси-1-этоксикарбонил-1,2-дигидрохинолин, Hst – Hoechst 33258, тригидрохлорид 2'-(4-гидроксифенил)-5-(4-метил-1-пиперазинил)-2,5'-би-1Н-бензимидазола, EtBr – бромистый этидий.  
\* Автор для переписки.

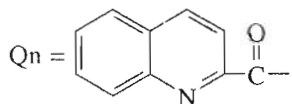
3',5'-ди-O-ацильные производные (II), (VII) и (IX) соответственно с выходом 80 - 90%. Для получения 5'-O-ацильного производного мы воспользовались реакцией Мицуобу [7]: из тимицина (VIII) и хинальдиновой кислоты в THF в присутствии диэтилазодикарбоксилата синтезировали 5'-O-хинальдиноилтимицин (XV) с выходом 20%. В дальнейшем для синтеза монозамещенных дезоксинуклеозидов в качестве исходных использовали 5'-O-тритил- (III), (X) или 3'-O-ацетилнуклеозиды (XIII). Взаимодействие их с хлорангидридом хинальдиновой кислоты и последующее деблокирование в кислой среде привели к соединениям (V), (XII) и (XV). Чтобы получить производное с амидной связью, 5'-амино-5'-дезокситимицин (XVI) [8, 9] вводили в реакцию с пентафторфениловым эфиrom хинальдиновой кислоты в этилацетате, что привело к 5'-дезокси-5'-(хинолин-2-карбониламино)тимицину (XVII) с выходом 40%.

Осуществлен также синтез 5'-дезокси-5'-(хинолин-2-карбониламино)бутироиламино]тимицина (XIX), в котором остаток хинальдиновой кислоты присоединен к нуклеозиду с использованием в качестве мостика 4-аминомасляной кислоты. Это давало возможность оценить влияние удаленности модифицирующей группы от углеводного цикла нуклеозида на цитотоксичность

синтезируемого аналога. С этой целью N-оксисукцинимидный эфир хинальдиновой кислоты [10] конденсировали с 4-аминомасляной кислотой и образующуюся 4-(хинолин-2-карбониламино)масляную кислоту (XVIII) вводили в реакцию с 5'-аминонуклеозидом (XVI) в THF в присутствии EEDQ.



- |         |                         |  |
|---------|-------------------------|--|
| (I)     | R = H,                  | R' = R'' = OH  |
| (II)    | R = H,                  | R' = R'' = OQn   |
| (III)   | R = H,                  | R' = OTr, R'' = OH                                       |
| (IV)    | R = H,                  | R' = OTr, R'' = OQn                                      |
| (V)     | R = H,                  | R' = OH, R'' = OQn                                       |
| (VI)    | R = SiMe <sub>3</sub> , | R' = R'' = OH  |
| (VII)   | R = SiMe <sub>3</sub> , | R' = R'' = OQn   |
| (VIII)  | R = CH <sub>3</sub> ,   | R' = R'' = OH  |
| (IX)    | R = CH <sub>3</sub> ,   | R' = R'' = OQn   |
| (X)     | R = CH <sub>3</sub> ,   | R' = OTr, R'' = OH                                       |
| (XI)    | R = CH <sub>3</sub> ,   | R' = OTr, R'' = OQn                                      |
| (XII)   | R = CH <sub>3</sub> ,   | R' = OH, R'' = OQn                                       |
| (XIII)  | R = CH <sub>3</sub> ,   | R' = OH, R'' = OAc                                       |
| (XIV)   | R = CH <sub>3</sub> ,   | R' = OQn, R'' = OAc                                      |
| (XV)    | R = CH <sub>3</sub> ,   | R' = OQn, R'' = OH                                       |
| (XVI)   | R = CH <sub>3</sub> ,   | R' = NH <sub>2</sub> , R'' = OH                          |
| (XVII)  | R = CH <sub>3</sub> ,   | R' = NH-Qn, R'' = OH                                     |
| (XVIII) | R = CH <sub>3</sub> ,   | R' = NHCO(C <sub>2</sub> H) <sub>3</sub> NH-Qn, R'' = OH |



Строение синтезированных соединений изучено спектральными методами. Наличие в спектрах <sup>1</sup>H-ЯМР (табл. 1) синтезированных соединений сигнала протона при атоме азота N<sup>3</sup>, а также сигналов хинальдионильных протонов подтверждает присоединение хинальдиновой кислоты именно к углеводной части молекулы. Соотношение интегральных интенсивностей сигналов углеводных и хинальдионильных протонов свидетельствует о наличии в молекуле соединений (IV), (V), (XI), (XII), (XIV), (XV), (XVII) и (XIX) одного, а у соединений (II), (VII) и (IX) двух ацильных остатков. В спектрах производных (V) и (XII) сигнал протона H3' смешен в слабое поле на ≈1 м. д. по сравнению с нуклеозидами (XV) и (XVII), что обусловлено дезэкранирующим эффектом 3'-О-

ацильной группы. У нуклеозида (XV) дезэкранирующее влияние ацильного остатка вызывает слабопольный сдвиг сигналов протонов H5'a и H5'b на ≈0.5 - 0.7 м. д. по сравнению с соединением (XII), что согласуется с приписываемой ему структурой 5'-О-ацильного производного. В спектрах 3',5'-ди-О-хинальдионуклеозидов (II), (VII) и (IX) наблюдается смещение в слабое поле сигналов протонов H3', H5'a и H5'b по сравнению с 3'- (XV), (XVII) и 5'-О-незамещенными соединениями (V), (XII).

Антипролиферативное действие синтезированных соединений изучено на культуре клеток карциномы яичника человека CaOv (табл. 2). Показано, что производные нуклеозидов и хинальдиновой кислоты, содержащие как один ((V), (XII), (XV)), так и два О-хинальдионильных остатка ((II), (VII), (IX)), а также амидопроизводное (XVII) подавляют включение тимицина в ДНК клеток на 70 - 82%. Исключение составляет соединение (XIX), которое, как и свободная хинальдиновая кислота, не обладает антипролиферативной активностью.

При изучении противоопухолевой активности *in vivo* показано, что 3'-О-хинальдионитимидин (XII) при пятикратном внутрибрюшинном введении в дозе 100 - 150 мг/кг тормозит рост солидных опухолей – карциномы легкого Льюис LLC и аденоракциномы Ca755 – на 70 - 87 и 60 - 64% соответственно. Активность 5'-О-хинальдионитимидина (XV) выражена слабее; в дозе 120 - 200 мг/кг при аналогичном режиме введения торможение роста опухоли LLC составляет 50 - 68%. Оба соединения не оказывают терапевтического воздействия на лимфомелейкоз Р388.

С использованием метода флуоресцентных зондов изучено влияние соединений (IX), (XII) и (XV) на структуру ДНК из эритроцитов цыпленка. В качестве флуорофоров выбраны Hoechst 33258 и EtBr, отличающиеся друг от друга типом связывания с ДНК: Hst связывается за счет водородных связей на внешней стороне малой бороздки, а EtBr интеркалирует в ДНК и изменяет шаг двойной спирали [11, 12]. Были изучены спектры флуоресценции и поляризации флуоресценции при титровании комплекса ДНК-нуклеозид-Hst этидийбромидом. Показано, что 3'- (XII) и 5'-О-хинальдионитимидин (XV) препятствуют тушению флуоресценции Hst при титровании этидийбромидом: интенсивность флуоресценции падает на 10 - 12% (для сравнения – в случае 3',5'-ди-О-хинальдионитимидина (IX) – на 40%, в контроле – на 80 - 90%) (рис. 1). Изменение полуширины спектра флуоресценции и наличие длинноволнового сдвига максимума флуоресценции (данные не приводятся) указывают на увеличение подвижности Hst в изучаемом комплексе в присутствии нуклеозидов.

Таблица I. Данные спектров  $^1\text{H}$ -ЯМР синтезированных соединений в  $\text{CDCl}_3$  (соединение (V), (XVII) – в  $\text{CD}_3\text{OD}$ , (XVII), (XIX) – в  $\text{DMSO}-d_6$ )

Соединение	Химические сдвиги, $\delta$ , м. д.									
	$\text{N}^3\text{H}$	$\text{H}6$	$\text{H}1'$	$\text{H}2\text{a}$	$\text{H}2'\text{б}$	$\text{H}3'$	$\text{H}4'$	$\text{H}5\text{а}$	$\text{H}5\text{б}$	Другие протоны
(II)	8.73	8.53	6.79	3.10	2.82	5.80	4.73	4.93	4.67	8.36д, 8.34д, 8.33д, 8.27д, 8.18д, 8.09д, 7.94м, 7.91м, 7.82м (2Н), 7.69м (2Н) (2Qn); 5.48д (5Н)
(IV)	c	д	т	m	m	m	m	m	m	8.33д, 8.30д, 8.14д, 7.90м, 7.81м, 7.67м (Qn); 7.45 - 7.20 (Tr); 5.39д (H5)
(V)	c	д	т	m	m	m	m	m	m	8.48д, 8.27д, 8.22д, 8.00м, 7.87м, 7.73м (Qn); 5.77д (H5)
(VII)	8.32	7.87	6.77	3.44	3.13	5.97	4.98	5.13	4.89	8.51д, 8.49д, 8.37д, 8.35д, 8.33д, 8.21д, 8.08д, 8.05д, 8.00м, 7.95м, 7.86м, 7.84м (2Qn); 0.18 (SiMe <sub>3</sub> )
(IX)	9.08	8.08	6.80	3.22	2.79	5.82	4.72	4.90	4.70	8.34д, 8.33д, 8.32д, 8.27д, 8.19д, 8.04д, 7.93м, 7.91м, 7.82м, 7.79м, 7.68м (2Н) (2Qn); 1.25с (CH <sub>3</sub> )
(XI)	c	c	т	m	m	m	m	m	m	8.31д, 8.28д, 8.13д, 7.89м, 7.80м, 7.66м (Qn); 7.50 - 7.20 (Tr); 1.46с (CH <sub>3</sub> )
(XII)	8.50	7.56	6.40	2.63	2.70	5.74	4.38	4.07	4.03	8.33д, 8.31д, 8.15д, 7.90м, 7.81м, 7.67м (Qn); 1.94с (CH <sub>3</sub> )
(XIV)	8.86	8.02	6.61	3.05	2.46	5.42	4.43	4.76	4.59	8.36д, 8.25д, 8.01д, 7.92д, 7.78м, 7.68м (Qn); 2.15с (OAc); 1.23д (CH <sub>3</sub> )
(XV)	ущ. с	с	дд	m	m	ущ. д	m	дд	дд	8.34д, 8.21д, 8.06д, 7.90м, 7.77м, 7.65м (Qn); 3.62с (OH); 1.37с (CH <sub>3</sub> )
(XVII)	9.03	7.55	6.19	2.07 - 2.24	4.31	4.02	3.65*	m	m	8.57д, 8.18д, 8.13д, 8.08д, 7.87м, 7.72м (Qn); 5.37ущ.с (3'-OH); 1.74 (CH <sub>3</sub> )
(XVIII)	c	c	т	m	m	m	m	m	m	8.44д, 8.18д (2Н), 8.16д, 7.94д, 7.81м, 7.64м (Qn); 3.54м (NH-CH <sub>2</sub> ), 2.43т (CH <sub>2</sub> -NH), 1.99м (CH <sub>2</sub> CH <sub>2</sub> CH <sub>2</sub> )
(XIX)	8.05	7.46	6.12	2.00 - 2.15	m	m	3.75	3.20 - 3.60**	3.20 - 3.60**	8.55д, 8.14д (2Н), 8.07д, 7.87м, 7.71м (Qn); 8.95т (NH), 3.20 - 3.60**м (NH-CH <sub>2</sub> ), 2.20м (CH <sub>2</sub> -NH), 1.04м (CH <sub>2</sub> CH <sub>2</sub> CH <sub>2</sub> ); 5.32д (3'-OH); 1.78с (CH <sub>3</sub> )

\* Сигнал перекрыт растворителем.

\*\* Сигналы перекрываются.

Таблица 1. Окончание

## Константы спин-спинового взаимодействия, Гц

Соединение	5,6	1',2a	1',2b	2'a,2b	2'a,3'	2b,3'	3',4'	4',5a	4',5b	5'a,5b
(II)	8.1	9.4	5.7	14.2	6.1	0.8	0.8	1.8	2.4	12.1
(IV)	8.0	8.2	5.9	14.5	7.0	1.9	1.9	2.6	2.4	10.4
(V)	8.4	8.5	5.7	14.5	6.5	1.8	1.8	2.7	2.7	12.0
(VII)	-	8.9	5.4	14.5	6.0	1.6	1.6	2.5	2.3	12.0
(IX)	-	9.7	5.4	14.3	6.4	0.8	1.0	2.5	2.0	12.7
(XI)	-	8.9	5.2	14.4	6.2	2.0	2.0	2.5	2.6	10.6
(XII)	-	8.2	6.2	14.3	5.3	2.7	2.7			
(XIV)*	-	9.9	5.2	13.7	6.0	<0.1	<1.0	1.9	2.2	12.1
(XV)	-	8.8	5.6	13.3	6.2	2.0	2.0	3.0	3.0	12.0
(XIX)	-	7.7	7.7	13.3	6.2	3.0				

\*  $J_{\text{CH}_3, 6\text{H}}$  0.8 Гц.

Измерение поляризации флуоресценции комплекса ДНК-нуклеозид-Hst в процессе титрования этидийбромидом показало, что соединения (XII) и (XV) вызывают уменьшение коэффициента поляризации Hst и очень незначительно влияют на коэффициент поляризации EtdBr (рис. 2а, 2б), т.е. изменяют подвижность Hst и не конкурируют за места связывания EtdBr.

Полученные данные позволяют заключить, что 3'- (XII) и 5'-О-хинальдионилтимидин (XV) не являются интеркаляторами, и изменение подвижности Hst обусловлено, по-видимому, конкуренцией за места связывания в области малой бороздки ДНК. В отличие от монопроизводных (XII) и (XV) 3',5'-ди-О-хинальдионилтимидин (IX) при взаимодействии с ДНК вызывает синхронные изменения коэффициентов поляризации Hst и EtdBr (рис. 2в), что указывает на одновременные изменения пространственных характеристик мест связывания как внешнего флуорофора (Hst), так и интеркалятора (EtdBr). Таким образом, соединение (IX), по-видимому, имеет внешнее и внутреннее связывание с ДНК.

### ЭКСПЕРИМЕНТАЛЬНАЯ ЧАСТЬ

Спектры  $^1\text{H}$ -ЯМР записаны на приборе Bruker WH-360 (ФРГ). Внутренний стандарт – тетраметилсиликат. Для обозначения формы сигналов использованы следующие сокращения: с – синглет, д – дублет, т – триплет, м – мультиплет, дд – дублет дублетов. УФ-спектры получены на спектрофотометре Specord UV-VIS (ФРГ). Длина оптического пути 1 см. Растворитель – этанол. Приведены значения  $\lambda_{\max}$  (нм), в скобках –  $\lg(\epsilon, M^{-1} \text{ см}^{-1})$ . Измерение флуоресценции проводили на флуориметре Hitachi F-4010 (Япония); длина волны возбуждения 350 нм, скорость сканирования 120 нм/с, щель 3 нм, кювета  $4 \times 4 \times 40$  мм, объем аликовты 1 мл.

В экспериментах использовали хинальдиновую кислоту и диэтилазодикарбоксилат (Merck, ФРГ), DCC (Ferak, ФРГ), EEDG, 2'-дезоксиуридин и тимидин (Fluka, Швейцария), трифенилfosфин (La Chema, СР), Hst и EtdBr (Serva, ФРГ), ДНК из эритроцитов цыпленка (Reanal, ВР).

TCX проводили на силифоле UV<sub>254</sub> (Kavalier, ЧР), препаративную хроматографию – на пластинах ( $20 \times 20$  см) с силикагелем LSL<sub>254</sub> 5 - 40 мкм (Chemapol, ЧР) (толщина слоя 1 мм) в смесях растворителей: бензол-ацетон, 1 : 1 (A), хлороформ-метанол, 20 : 1 (B), хлороформ-метанол, 11 : 1 (B). Элементные анализы синтезированных соединений на содержание N удовлетворительно совпадают с вычисленными значениями.

Цитотоксические свойства синтезированных соединений изучали на культуре клеток карциномы яичника человека CaOV по изменению вклю-

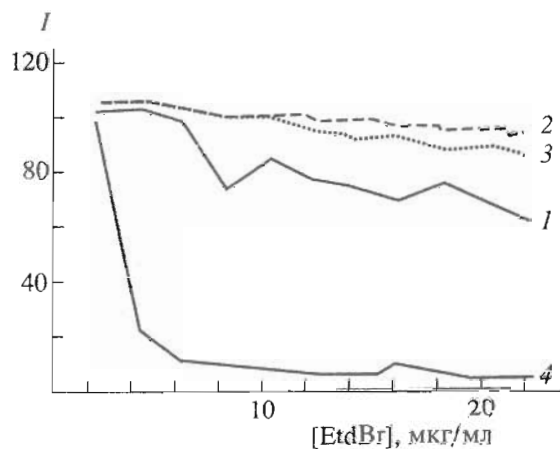


Рис. 1. Влияние нуклеозидов (IX), (XII) и (XV) (кривые 1 - 3 соответственно) на интенсивность флуоресценции Hst в комплексе ДНК-нуклеозид-Hst при титровании этидийбромидом; 4 – контроль (без нуклеозида); концентрации: ДНК – 1 мкг/мл, Hst –  $10^{-6}$  М, EtdBr – 2 - 20 мкг/мл, нуклеозидов –  $10^{-5}$  М.

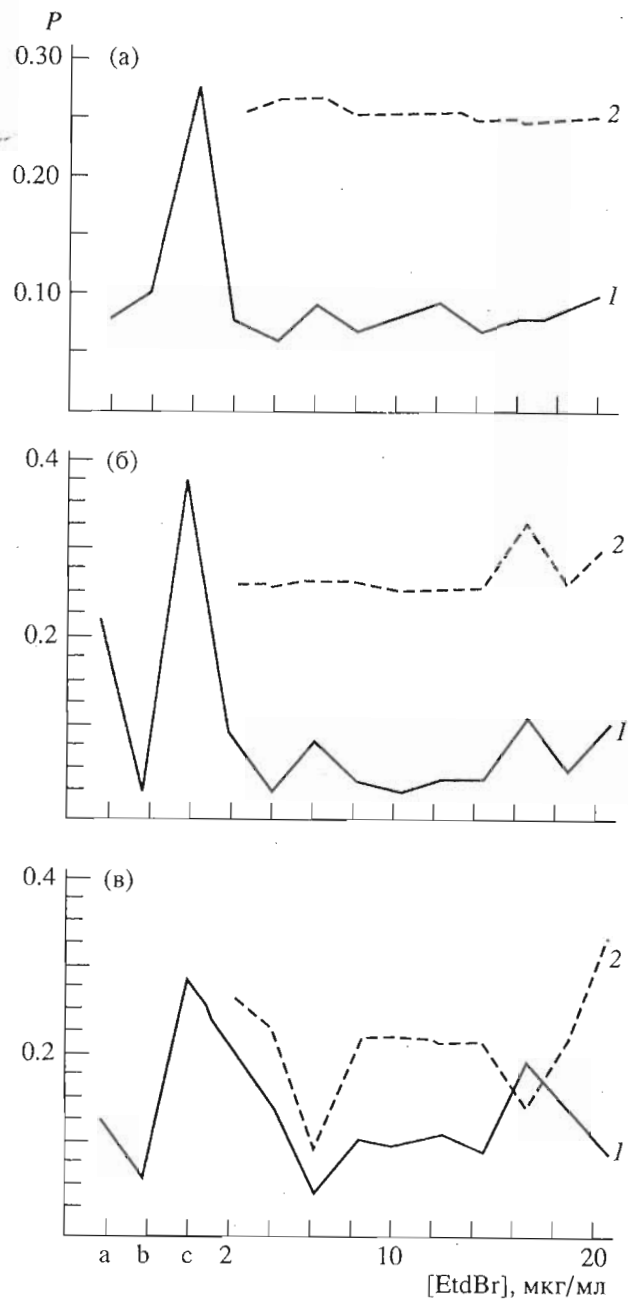
чения  $[^3\text{H}]$ тимидина в ДНК по методике, описанной в работе [13]. Противоопухолевую активность исследовали в опытах на мышах-гибридах первого поколения BDF<sub>1</sub> с перевиваемым лимфолейкозом P388 и солидными опухолями – аденокарциномой молочной железы Ca755 и раком легкого Льюис LLC.

**О-Хинальдионильные производные нуклеозидов.** Смесь, состоящую из 0.54 ммоль хинальдиновой кислоты и 3 мл тионилхлорида, нагревали при кипении 4 ч. Избыток тионилхлорида отгоняли в вакууме, к остатку добавляли 6 мл хлористого метиlena, 1.15 ммоль DMAP и 0.27 ммоль нуклеозида (I), (VI) или (VIII) либо 0.54 ммоль производного (III), (X) или (XIII). Смесь перемешивали 18 ч при 20 - 22°C, затем отгоняли растворитель в вакууме, остаток очищали хроматографией на пластинах.

Таблица 2. Антипролиферативные свойства синтезированных соединений (при концентрации  $10^{-4}$  М) в отношении клеток CaOV *in vitro*

Соединение	Ингибирование включения $[^3\text{H}]$ тимидина в ДНК, %	$\text{CE}_{50}^* \times 10^5$ , мкг/мл
(I)	73	9.5
(V)	73	0.5
(VII)	72	5.0
(IX)	82	6.0
(XII)	72	0.4
(XV)	81	6.0
(XVII)	71	5.0

\*  $\text{CE}_{50}$  – концентрация препарата, вызывающая 50%-ное торможение включения тимидина в ДНК.



**Рис. 2.** Влияние нуклеозидов (IX), (XII) и (XV) на коэффициент поляризации ( $P$ ) Hst (1) и EtdBr (2) при титровании комплекса ДНК–нуклеозид–Hst этидийбромидом: а – ДНК; б – ДНК + (XV) (а), ДНК + (XII) (б), ДНК + (IX) (в); с – ДНК + (XV) + Hst (а), ДНК + (XII) + Hst (б), ДНК + (IX) + Hst (в); концентрации: ДНК – 1 мкг/мл, Hst –  $10^{-6}$  М, EtdBr – 2 – 20 мкг/мл, нуклеозидов –  $10^{-5}$  М.

**3',5'-Ди-О-хинальдионил-2'-дезоксиуридин (II).** Выход 125 мг (85%).  $R_f$  0.6 (А). УФ-спектр: 242 (4.66), 290 (3.99).

**5'-О-Тритил-3'-О-хинальдионил-2'-дезоксиуридин (IV).** Выход 330 мг (97.3%).  $R_f$  0.6 (Б). УФ-спектр: 242 (4.64), 260 (4.13).

**3',5'-Ди-О-хинальдионил-5-тиметилсилил-2'-дезоксиуридин (VII).** Выход 118 мг (81.9%).  $R_f$  0.9 (А), двукратное пропускание растворителей через пластину. УФ-спектр: 242 (4.65), 267 (4.22).

**3',5'-Ди-О-хинальдионилтимидин (IX).** Выход 130 мг (87.5%).  $R_f$  0.6 (А). УФ-спектр: 242 (4.61), 270 (4.12).

**5'-О-Тритил-3'-О-хинальдионилтимидин (XI).** Выход 320 мг (85.3%).  $R_f$  0.9 (Б), двукратное пропускание растворителей через пластину. УФ-спектр: 242 (4.62), 260 (4.12).

**3'-О-Ацетил-5'-О-хинальдионилтимидин (XIV).** Выход 180 мг (79%).  $R_f$  0.7 (Б). УФ-спектр: 240 (4.41), 266 (3.66).

**3'-О-Хинальдионил-2'-дезоксиуридин (V).** Раствор 240 мг (0.38 ммоль) 5'-О-тритил-3'-О-хинальдионил-2'-дезоксиуридина (IV) в 10 мл 1% хлористого водорода в ац. метаноле выдерживали 1 ч при 20 – 22°C, реакционную смесь нейтрализовали добавлением 0.46 г  $\text{Ag}_2\text{CO}_3$ , осадок отделяли, растворитель упаривали в вакууме, остаток хроматографировали на пластинах в системе А. Из зоны с  $R_f$  0.4 выделяли соединение (V). Выход 115 мг (78%). УФ-спектр: 240 (4.48), 265 (3.96).

**3'-О-Хинальдионилтимидин (XII).** Раствор 300 мг (0.47 ммоль) 5'-О-тритил-3'-О-хинальдионилтимидина (XI) в 3 мл 80% уксусной кислоты нагревали при кипении 10 мин, охлаждали до 20 – 22°C, выпавший осадок отделяли. Растворитель отгоняли в вакууме, остаток хроматографировали на пластинах в системе А. Из зоны с  $R_f$  0.4 выделяли соединение (XII). Выход 120 мг (64.4%). УФ-спектр: 241 (4.46), 267 (3.94).

**5'-О-Хинальдионилтимидин (XV).** а) Получали аналогично соединению (V) из 220 мг (5 ммоль) 3'-О-ацетил-5'-О-хинальдионилтимидина (XIV) и 10 мл 1% хлористого водорода в метаноле. Из зоны с  $R_f$  0.4 (А) выделяли соединение (XV). Выход 130 мг (65.3%). УФ-спектр: 240 (4.44), 267 (3.92).

б) К смеси 52 мг (0.3 ммоль) хинальдиновой кислоты, 73 мг (0.3 ммоль) тимидина (I), 80 мг (0.3 ммоль) трифенилfosfina в 1.5 мл THF добавляли раствор 53 мг (0.3 ммоль) диэтилазодикарбоксилата в 2 мл THF. Реакционную смесь перемешивали 5 ч при 20 – 22°C и 7 ч при 50°C. Растворитель отгоняли в вакууме. Остаток хроматографировали на пластинах в системе А. Из зоны с  $R_f$  0.4 выделяли соединение (XV). Выход 24 мг (20%).

**5'-Дезокси-5'-О-хинальдинамидотимидин (XVII).** Смесь, состоящую из 87 мг (0.5 ммоль) хинальдиновой кислоты, 103 мг (0.5 ммоль) DCC и 92 мг (0.5 ммоль) пентафторфенола в 6 мл этил-ацетата, перемешивали при 20 – 22°C. Через 18 ч осадок дициклогексилмочевины отделяли, к фильтрату добавляли раствор 120 мг (0.5 ммоль) 5'-амино-5'-дезокситимидина [8, 9] в 0.5 мл DMF. Реакционную смесь перемешивали 14 ч при 20 – 22°C,

затем упаривали в вакууме растворитель, остаток очищали препаративной ТСХ в системе В при трехкратном пропускании растворителей через пластину. Из зоны с  $R_f$  0.4 выделяли соединение (XVII). Выход 83 мг (40%). УФ-спектр: 238 (4.71), 265 (4.20).

**4-(Хинолин-2-карбониламино)масляная кислота (XVIII).** Смесь, состоящую из 1.69 г (6.24 ммоль) N-оксисукцинидного эфира хинальдиновой кислоты [10], 0.62 г (6.01 ммоль) 4-аминомасляной кислоты и 42 мл 50% этанола, перемешивали 10 ч при 20 - 22°C. Растворитель упаривали в вакууме до 1/2 первоначального объема, остаток оставляли в холодильнике при 4°C. Выпавший осадок отделяли, промывали охлажденным 50% этанолом, сушили в вакууме над  $P_2O_5$ . Выход 1.1 г (62%),  $R_f$  0.4 (Б). УФ-спектр: 238 (4.58), 295 (3.22).

**5'-Дезокси-5'-[хинолин-2-карбониламино]бутироиламино]тимидин (XIX).** К суспензии 90 мг (0.37 ммоль) 5'-амино-5'-дезокситимидина [8, 9] и 96 мг (0.37 ммоль) соединения (XVIII) в 10 мл THF добавляли 91 мг (0.37 ммоль) EEDQ, реакционную смесь перемешивали при 60°C в течение 5 ч. Растворитель упаривали в вакууме, остаток хроматографировали на пластинах в системе В при шестикратном пропускании смеси растворителей через пластину. Из зоны с  $R_f$  0.4 выделяли соединение (XIX). Выход 36 мг (20%). УФ-спектр: 239 (4.68), 263 (4.21).

## СПИСОК ЛИТЕРАТУРЫ

1. Takamura T., Kato T., Arakawa E., Ogava S., Kato T. // Chem. Pharm. Bull. 1989. V. 37. № 10. P. 2828 - 2831.
2. Ozaki S., Akiyama T., Ike Y., Mori H., Hoshi A. // Chem. Pharm. Bull. 1989. V. 37. № 12. P. 3405 - 3408.
3. Ozaki S., Akiyama T., Morita T., Kumegawa M., Nagase T., Uehara N., Hoshi A. // Chem. Pharm. Bull. 1990. V. 38. № 11. P. 3164 - 3166.
4. Hamamura E., Prystasz M., Verheyden J.P.H., Moffatt J.G. // J. Med. Chem. 1976. V. 19. № 5. P. 667 - 674.
5. Макутова С.В., Плихтяк И.Л., Ярцева И.В., Иванова Т.П., Мельник С.Я. // Биоорган. химия. 1995. Т. 21. № 4. С. 293 - 299.
6. Плихтяк И.Л., Макутова С.В., Иванова Т.П., Ярцева И.В., Мельник С.Я. // Биоорган. химия. 1995. Т. 21. № 6. С. 461 - 467.
7. Mitsunobu O., Kimura J., Fujisawa J. // Bull. Chem. Soc. Jpn. 1972. V. 45. № 1. P. 245 - 247.
8. Reist E., Benites A., Goodman L. // J. Org. Chem. 1964. V. 29. № 3. P. 554 - 558.
9. Horwitz J., Tomson A., Urbanski J., Chua J. // J. Org. Chem. 1962. V. 27. № 9. P. 3045 - 3048.
10. Горюнова О.В., Ярцева И.В., Иванова Т.П., Машалова Н.А., Кикоть Б.С., Мельник С.Я. // Биоорган. химия. 1995. Т. 21. № 8. С. 617 - 624.
11. Уменская В.Н., Розанов Ю.М. // Биофизика. 1990. Т. 35. № 3. С. 399 - 401.
12. Bauer W., Vinograd J. // J. Mol. Biol. 1970. V. 47. № 2. P. 419 - 423.
13. Мельник С.Я., Бахмедова А.А., Недорезова Т.П., Ярцева И.В., Жукова О.С., Добринин Я.В., Преображенская М.Н., Колесников С.П., Ли В.Я., Рогожин Н.С., Нефедов О.М., Чекунова Э.В., Мареникова С.С. // Биоорган. химия. 1985. Т. 11. № 9. С. 1248 - 1252.

## Synthesis and Biological Properties of Pyrimidine 2'-Deoxynucleosides Modified with Quinaldic Acid

L. V. Ektova, I. V. Yartseva, E. V. Khorosheva,  
T. P. Ivanova, N. P. Yavorskaya, and S. Ya. Melnik<sup>1</sup>

Blokhin Cancer Research Center, Russian Academy of Medical Sciences,  
Kashirskoe sh. 24, Moscow, 115478 Russia

**Abstract** – O-Quinaldoyl derivatives of thymidine, 2'-deoxyuridine, and 5-trimethylsilyl-2'-deoxyuridine were synthesized. 5'-Deoxy-5'-(quinoline-2-carbonylamino)- and 5'-deoxy-5'-(quinoline-2-carbonylamino)butyroylamino]thymidine were obtained by the reaction of 5'-amino-5'-deoxythymidine with pentafluorophenyl ester of quinaldic acid, or with 4-(quinoline-2-carbonylamino)butyric acid. Antiproliferative properties in respect to CaOv cells *in vitro* were found in most of the synthesized quinaldoyl derivatives of nucleosides ( $CE_{50} \sim 10^{-5}$  M). 3'-O-Quinaldoylthymidine exhibited an antitumor activity *in vivo*. The interaction of 3'- and 5'-O-quinaldoyl- as well as 3',5'-di-O-quinaldoylthymidine with DNA was investigated by the method of fluorescent probes.

**Key words:** pyrimidine 2'-deoxynucleosides, quinaldic acid, synthesis, cytotoxicity, antitumor properties, influence on DNA structure.

<sup>1</sup> To whom correspondence should be addressed.